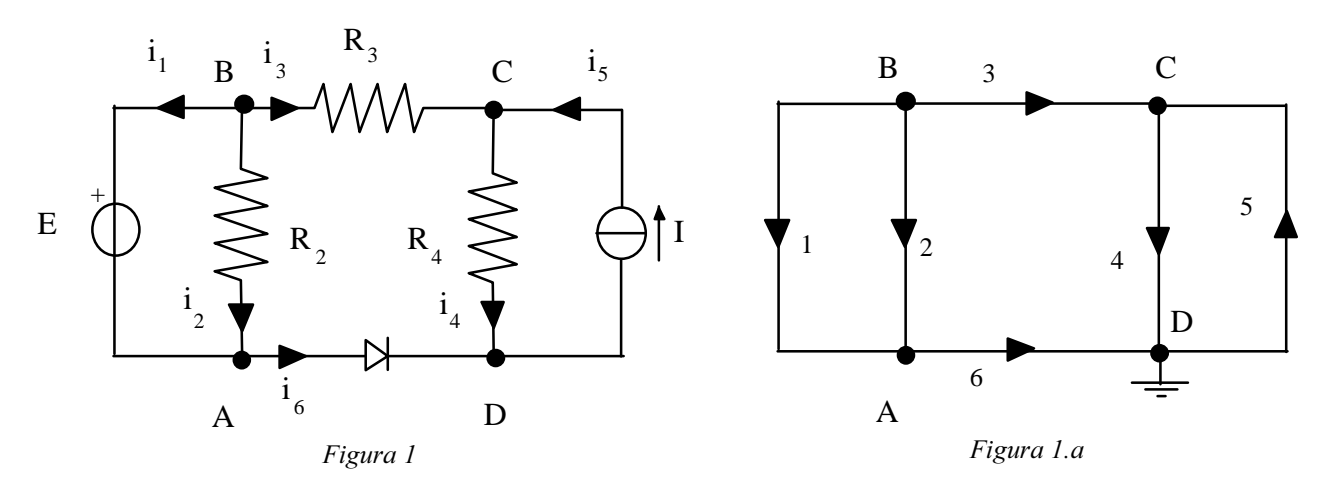
METODI PER L'ANALISI DEI CIRCUITI

Nel seguito vengono illustrati, mediante esempi, alcuni tra i metodi più utilizzati per l'analisi dei circuiti elettrici. Il problema che si vuole risolvere è il seguente: assegnato il circuito elettrico e le grandezze impresse dai generatori indipendenti presenti, in generale funzioni qualunque del tempo, si vuole calcolare l'andamento temporale delle correnti e delle tensioni in tutti i rami del circuito. Come già detto, si suppone per semplicità che tutti i componenti siano dei bipoli, potendosi ricondurre alla ipotesi mediante l'introduzione di circuiti equivalenti dei componenti a più di due terminali. Gli esempi illustrativi si riferiscono, per semplicità, a circuiti in regime stazionario (o regime di corrente continua), definito dalla condizione $d/dt \equiv 0$. In tal caso, ogni grandezza nel circuito si suppone tempo-invariante.

DAI CIRCUITI AI GRAFI

È possibile associare ad ogni circuito un'entità matematica G chiamata grafo, formata da un insieme di nodi N (nodi del circuito) e da un insieme di rami R (rami del circuito) che collegano i nodi tra loro. Notiamo che si è così evidenziata la struttura topologica del circuito, cioè il modo in cui sono connessi i componenti tra loro, senza preoccuparsi delle caratteristiche dei componenti stessi. Ad ogni ramo sono associati una corrente di ramo ed una tensione di ramo. È possibile associare ad ogni nodo un potenziale (tensione di nodo) definita come tensione esistente tra il nodo in esame e il nodo di riferimento, il cui simbolo è 👤 , scelto arbitrariamente. Una proprietà del circuito che si trasferisce al corrispondente grafo è la proprietà di connessione, secondo la quale tutto il circuito è connesso elettricamente, e quindi per ogni nodo del circuito è possibile trovare un percorso che, seguendo i rami del grafo, connetta tale nodo al nodo di riferimento (nel caso in cui il circuito non sia connesso vedremo che è sempre possibile connetterlo interponendo un collegamento tra ogni coppia di circuiti non connessi). Ogni ramo del grafo deve essere orientato, ottenendo così un grafo orientato: questa orientazione corrisponde al verso positivo della corrente in quel ramo. L'orientazione della tensione del ramo può essere fatta indipendentemente da quella della corrente. Tuttavia, usualmente la tensione sarà orientata secondo la convenzione degli utilizzatori in modo che la corrente vada dal terminale positivo a quello negativo. Con questa convenzione, la potenza p(t) = v(t) i(t) è assorbita se positiva, erogata se negativa. Se la tensione è orientata in senso opposto (convenzione dei generatori), allora la potenza è assorbita se negativa, erogata se positiva.

A titolo di esempio si consideri il circuito illustrato nella figura 1 (N = 4 nodi, R = 6 rami), dove non sono stati indicati i versi positivi delle tensioni di ramo, perché si suppone di considerare comunque versi di riferimento associati per tensioni e correnti di ramo mediante la scelta dell'utilizzatore. Il grafo orientato corrispondente è illustrato in figura 1.a.



Le Leggi di Kirchhoff (delle Tensioni e delle Correnti) ci permettono di scrivere delle equazioni che descrivono la topologia del circuito, ovvero il modo in cui i componenti sono connessi tra loro:

■ La Legge di Kirchhoff delle Correnti (*LKC*) afferma che la somma algebrica delle correnti in un nodo è nulla in qualsiasi istante di tempo.

- Equazione per un nodo (LKC_n):
$$\sum_{r=1}^{n} i_r = 0$$
 (1.a)

- La Legge di Kirchhoff delle Tensioni (*LKT*) può essere formulata in due modi equivalenti tra loro:
- La somma algebrica delle tensioni di ramo sui rami di una maglia è nulla per qualsiasi istante di tempo;

- Equazione per una maglia (LKT_m):
$$\sum_{r=1}^{m} v_r = 0$$
 (1.b)

- Ogni tensione di ramo è data dalla differenza dei potenziali di nodo dei suoi terminali.
- Equazione per un ramo (LKT_r): $v_{AB} = e_A e_B$ (1.c)

Scriviamo le equazioni LKC e LKT utilizzando il grafo associato al circuito. Supponiamo che il grafo associato abbia N nodi e R rami orientati. Con riferimento al grafo di figura 1.a, N = 4 (A, B, C, D) e R = 6. Si scelga ad esempio il nodo D come nodo di riferimento per le tensioni e si indichino con e_A , e_B ed e_C le tensioni dei nodi A, B e C rispetto al nodo di riferimento (e_D = 0). Le equazioni LKT_r e LKC_n assumono allora la forma rispettivamente delle (2.i) e (2.ii):

$$v_{1} = e_{B} - e_{A}$$

$$v_{2} = e_{B} - e_{A}$$

$$v_{3} = e_{B} - e_{C}$$

$$v_{4} = e_{C}$$

$$v_{5} = -e_{C}$$

$$v_{6} = e_{A}$$
(2.i)

(una equazione per ogni ramo, quindi in generale R equazioni in cui compaiono R tensioni di ramo ed N – 1 potenziali di nodo; nell'esempio in oggetto possiamo quindi scrivere 6 LKT_r in cui compaiono 6 tensioni di ramo ed 3 potenziali di nodo)

$$i_1 + i_2 - i_6 = 0$$

$$LKC_n: -i_1 - i_2 - i_3 = 0$$

$$i_3 - i_4 + i_5 = 0$$
(2.ii)

(una equazione per ogni nodo, meno quello di riferimento, quindi in generale N-1 equazioni in cui compaiono R correnti di ramo; nell'esempio in oggetto possiamo quindi scrivere 3 LKC $_n$ in cui compaiono 6 correnti di ramo). È ovviamente possibile scrivere una ulteriore LKC $_n$ applicata al nodo di riferimento ($-i_6-i_4+i_5=0$), ma è facile mostrare che è una combinazione lineare delle precedenti N-1. Infatti, tale equazione si ottiene sommando le (2.ii).

Si noti che le (2.i) e le (2.ii) sono R + N - 1 equazioni in 2R + N - 1 incognite (tensioni di ramo, potenziali di nodo e correnti di ramo): per risolvere il circuito dobbiamo aggiungere ancora R equazioni, e precisamente i modelli dei componenti.

La LKT può essere enunciata considerando le maglie del circuito (secondo la formulazione 1.b). Per questo, introduciamo il concetto di *albero T* associato ad un grafo *G*:

- 1. *T* è un sottografo di *G* con tutti i nodi e una parte dei rami; ogni ramo conserva la sua orientazione;
- 2. Tè connesso:
- 3. T non ha maglie: c'è un solo percorso che collega ogni coppia di nodi.

Ovviamente, ad ogni grafo è associato più di un albero. Comunque, ogni albero T ha N-1 rami. I rami di G appartenenti a T sono chiamati rami dell'albero, mentre i rimanenti sono chiamati rami del coalbero (e sono R-N+1). Se aggiungiamo un ramo del coalbero a T, creiamo una maglia che è formata da rami dell'albero e da quell'unico ramo del coalbero (maglia fondamentale). Per ogni ramo del coalbero, possiamo ripetere l'operazione formando ogni volta una maglia diversa, indipendente da tutte le altre. Si può allora dimostrare che il numero di maglie indipendenti di un circuito (cioè l'insieme delle maglie fondamentali) è pari ai rami del coalbero, e precisamente R-(N-1)=R-N+1.

A titolo di esempio si consideri il grafo illustrato nella figura 1.a; uno dei possibili alberi è illustrato in figura 1.b (rami 2, 3 e 4). I rami tratteggiati sono quelli di coalbero (rami 1, 5 e 6). Le maglie indipendenti sono quindi R - N + 1 = 3, (in particolare a = A1B2A, b = A2B3C4D6A, c = D4C5D).

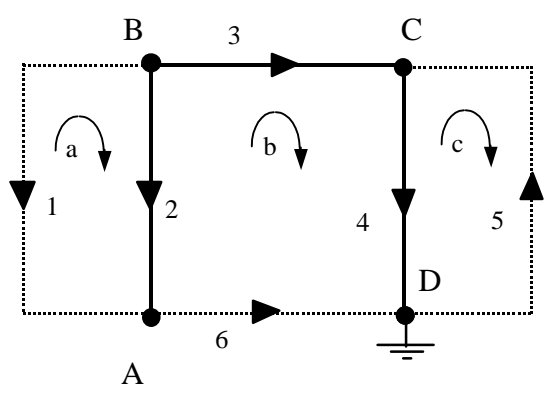


Figura 1.b

Applicando la LKT_m alle maglie così definite si ottiene il seguente sistema di equazioni lineari in cui compaiono solo le tensioni di ramo:

$$-v_1 + v_2 = 0$$

$$-v_2 + v_3 + v_4 - v_6 = 0$$

$$-v_4 - v_5 = 0$$
(2.iii)

(una equazione per ogni maglia indipendente quindi in generale R-N+1 equazioni in cui compaiono R tensioni di ramo; nell'esempio in oggetto possiamo quindi scrivere 3 LKT $_m$ in cui compaiono 6 tensioni di ramo)

Si noti che le (2.iii) e le (2.ii) sono R equazioni in 2R incognite (tensioni di ramo e correnti di ramo): per risolvere il circuito dobbiamo aggiungere ancora R equazioni, e precisamente i modelli dei componenti.

Operativamente, per trovare le maglie indipendenti di un circuito, si deve associare un albero T al grafo G del circuito, quindi scrivere la LKT $_{\rm m}$ per ogni maglia associata ad un ramo del coalbero.

CIRCUITI PRIVI DI MEMORIA

I circuiti privi di memoria sono quelli in cui tutti i componenti del circuito sono privi di memoria ossia le loro caratteristiche tensione-corrente stabiliscono un legame istantaneo tra le due grandezze che non dipende dai valori da esse assunte in precedenza. In tal caso il sistema risolvente del circuito stesso è costituito da un sistema di equazioni algebriche ed il valore di tutte le grandezze incognite in un generico istante può essere calcolato dalla conoscenza del valore delle grandezze impresse del circuito in quello stesso istante.

Analisi di Tableau

Il metodo più generale, per l'analisi di un circuito qualunque (R = numero di rami del circuito, N = numero di nodi del circuito), consiste nel considerare come incognite del sistema le R correnti di ramo, le R tensioni di ramo e le (N-1) tensioni di nodo rispetto ad un nodo arbitrariamente scelto come nodo di riferimento. Il sistema risolvente viene quindi ottenuto da R equazioni LKT_r (una per ogni ramo), da N-1 equazioni LKC_n (una per ogni nodo, tranne quello di riferimento) e da R equazioni costitutive dei componenti.

A titolo di esempio si consideri il circuito illustrato nella figura 1, dove non sono stati indicati i versi positivi delle tensioni di ramo, perché si suppone di considerare comunque versi di riferimento associati con la regola dell'utilizzatore per tensioni e correnti di ramo.

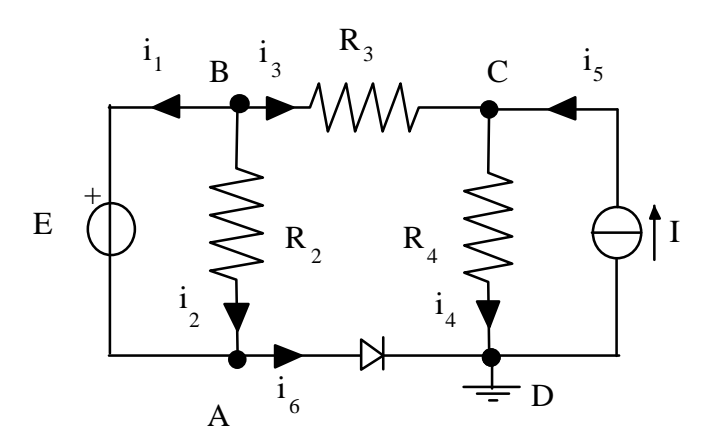


Figura 1

Si scelga arbitrariamente il nodo D come nodo di riferimento per le tensioni e si indichino con e_A , e_B ed e_C le tensioni dei nodi A, B e C rispetto al nodo di riferimento. Le equazioni LKT_r e LKC_n assumono allora la forma rispettivamente delle (2.i) e (2.ii):

$$\begin{array}{c} v_1 = e_B - e_A \\ v_2 = e_B - e_A \\ \end{array} \\ (R = 6 \text{ equazioni LKT}_r \text{ in cui compaiono come} \\ \text{incognite R} = 6 \text{ tensioni di ramo ed N} - 1 = 3 \\ \text{potenziali di nodo)} \\ v_3 = e_B - e_C \\ v_4 = e_C \\ v_5 = -e_C \\ v_6 = e_A \\ i_1 + i_2 - i_6 = 0 \\ (2.i) \\ v_6 = e_A \\ i_1 + i_2 - i_6 = 0 \\ -i_1 - i_2 - i_3 = 0 \\ i_3 - i_4 + i_5 = 0 \end{array}$$

Il sistema viene quindi chiuso dalle seguenti equazioni costitutive dei componenti:

$$v_1 = E$$

$$v_2 = R_2 \ i_2$$

$$(R = 6 \ \text{equazioni costitutive dei componenti in}$$

$$\text{cui compaiono come incognite } R = 6 \ \text{tensioni}$$

$$\text{di ramo ed } R = 6 \ \text{correnti di ramo})$$

$$v_3 = R_3 \ i_3$$

$$v_4 = R_4 \ i_4$$

$$i_5 = I$$

$$v_6 \ i_6 = 0$$

Il sistema costituito dalle equazioni (2.i), (2.ii) e (3), dove sono note le grandezze E, I, R_2 , R_3 , ed R_4 , costituisce un sistema di 15 equazioni nelle 15 incognite del problema che sono rispettivamente e_A , e_B , e_C , v_1 , v_2 , v_3 , v_4 , v_5 , v_6 , i_1 , i_2 , i_3 , i_4 , i_5 , i_6 . Il sistema di equazioni risolvente è non lineare per la presenza del diodo che è un componente non lineare (ultima equazione delle (3)). Il procedimento illustrato è completamente trasferibile su un computer e la soluzione (o le soluzioni matematicamente possibili, poiché in generale, essendo il sistema non lineare, può esistere più di una soluzione) può essere ottenuta numericamente. In questo caso la soluzione può essere ottenuta eliminando la non linearità del sistema, considerando separatamente i due casi possibili: diodo in conduzione ($i_6 \ge 0$, $v_6 = 0$) oppure diodo interdetto ($i_6 = 0$, $v_6 \le 0$).

Diodo in conduzione. Ponendo $v_6 = 0$ nelle (2.i) ed eliminando contemporaneamente l'ultima equazione delle (3) che è diventata una identità, si ottiene un sistema di 14 equazioni lineari nelle 14 incognite e_A , e_B , e_C , v_1 , v_2 , v_3 , v_4 , v_5 , i_1 , i_2 , i_3 , i_4 , i_5 , i_6 , la cui soluzione è la seguente:

$$e_{A} = 0 \quad ; \quad e_{B} = E \quad ; \quad e_{C} = R_{4} \frac{E + R_{3} I}{R_{3} + R_{4}}$$

$$v_{1} = E \quad ; \quad i_{1} = -\frac{E - R_{4} I}{R_{3} + R_{4}} - \frac{E}{R_{2}}$$

$$v_{2} = E \quad ; \quad i_{2} = \frac{E}{R_{2}}$$

$$v_{3} = R_{3} \frac{E - R_{4} I}{R_{3} + R_{4}} \quad ; \quad i_{3} = \frac{E - R_{4} I}{R_{3} + R_{4}}$$

$$v_{4} = R_{4} \frac{E + R_{3} I}{R_{3} + R_{4}} \quad ; \quad i_{4} = \frac{E + R_{3} I}{R_{3} + R_{4}}$$

$$v_{5} = -R_{4} \frac{E + R_{3} I}{R_{3} + R_{4}} \quad ; \quad i_{5} = I$$

$$i_{6} = -\frac{E - R_{4} I}{R_{3} + R_{4}}$$

$$(4)$$

Affinché la soluzione trovata non contraddica l'ipotesi di diodo in conduzione deve essere $i_6 \ge 0$ e quindi, dalla ultima delle (4) deve essere:

$$E \le R_4 I$$
 (5)

Diodo interdetto. Ponendo $i_6 = 0$ nelle (2.ii) ed eliminando contemporaneamente l'ultima equazione delle (3) che è diventata una identità, si ottiene un sistema di 14 equazioni lineari nelle 14 incognite e_A , e_B , e_C , v_1 , v_2 , v_3 , v_4 , v_5 , v_6 , i_1 , i_2 , i_3 , i_4 , i_5 , la cui soluzione è la seguente:

$$e_{A} = -E + R_{4} I \quad ; \quad e_{B} = R_{4} I \quad ; \quad e_{C} = R_{4} I$$

$$v_{1} = E \quad ; \quad i_{1} = -\frac{E}{R_{2}}$$

$$v_{2} = E \quad ; \quad i_{2} = \frac{E}{R_{2}}$$

$$v_{3} = 0 \quad ; \quad i_{3} = 0$$

$$v_{4} = R_{4} I \quad ; \quad i_{4} = I$$

$$v_{5} = -R_{4} I \quad ; \quad i_{5} = I$$

$$v_{6} = -E + R_{4} I$$
(6)

Affinché la soluzione trovata non contraddica l'ipotesi di diodo interdetto deve essere $v_6 \le 0$ e quindi dalla ultima delle (6) deve essere:

$$E \ge R_4 I$$
 (7)

Dal confronto della (5) con la (7) si vede che, una volta assegnati i valori di E, I ed R₄, una sola delle due soluzioni è accettabile.

Riassumendo, per applicare il metodo di Tableau ad un circuito connesso qualunque (R = numero di rami del circuito, N = numero di nodi del circuito), si prende arbitrariamente un nodo come nodo di riferimento del circuito, si applica la LKT_r ad ogni ramo del circuito, si applica la LKC_n a tutti i nodi tranne quello di riferimento e si chiude il sistema con le equazioni costitutive (caratteristiche) dei componenti:

R equazioni LKT
$$_{\rm r}$$
 ${f v}={f M}~{f e}$
$$N-1~{\rm equazioni}~{\rm LKC}_{\rm n}$$
 ${f A}~{f i}={f 0}$ R equazioni caratteristiche ${f f}({f i},{f v})={f 0}$

dove \mathbf{v} è il vettore delle tensioni di ramo (dimensione R), \mathbf{i} è il vettore delle correnti di ramo (dimensione R), \mathbf{e} è il vettore delle tensioni di nodo (dimensione N-1), \mathbf{M} è una matrice costante $R \times (N-1)$ ed \mathbf{A} è una matrice costante $(N-1) \times R$ [Come si è già visto, risulta che \mathbf{M} è la trasposta di \mathbf{A} , cioè: $\mathbf{M} = \mathbf{A}^T$]. Il sistema risolvente contiene dunque 2R + N - 1 equazioni in 2R + N - 1 incognite.

Nel caso particolare in cui <u>tutti</u> i componenti siano lineari (o siano generatori indipendenti) le equazioni delle caratteristiche possono essere scritte nella forma

R equazioni caratteristiche
$$\mathbf{H} \mathbf{i} + \mathbf{K} \mathbf{v} = \mathbf{S}$$

dove \mathbf{H} è una matrice costante $\mathbf{R} \times \mathbf{R}$, \mathbf{K} è una matrice costante $\mathbf{R} \times \mathbf{R}$ ed \mathbf{S} è il vettore di dimensione \mathbf{R} che contiene le tensioni e le correnti impresse dai generatori indipendenti (sui rami in cui sono presenti e zero altrove). In tal caso il sistema risolvente è lineare ed è possibile esprimere ogni variabile come combinazione lineare delle sole tensioni e correnti impresse dai generatori indipendenti. Con riferimento alla corrente sul k-esimo ramo potremo quindi scrivere:

$$i_k = \sum_{\substack{n \text{gen.ind. tensione}}} g_{k,n} E_{s,n} + \sum_{\substack{m \text{gen.ind. tensione}}} \alpha_{k,m} I_{s,m}$$
 per ogni k

Tale relazione è l'enunciato del <u>Principio di Sovrapposizione degli Effetti</u>: *In una rete lineare* (cioè contenente solo bipoli lineari e generatori indipendenti) *la corrente in un generico ramo* (effet-

to) è uguale alla somma algebrica delle correnti che vi sarebbero prodotte dai singoli generatori indipendenti presenti nella rete se agissero separatamente. Lo stesso vale per le tensioni di ramo e di nodo^(o).

Metodo delle Leggi di Kirchhoff

Le soluzioni (4) e (6) sono state ottenute risolvendo un sistema di 14 equazioni lineari in 14 incognite. Tale soluzione, anche se la matrice del sistema è sparsa, può risultare complessa. L'ordine del sistema risolvente può essere ridotto osservando che è possibile ottenere un sistema di 2R equazioni indipendenti nelle sole tensioni e correnti di ramo incognite. Si consideri infatti la figura 2 in cui sono indicate le 3 (R - N + 1 risulta in questo caso uguale a 3) maglie indipendenti del circuito individuate in figura 1.b.

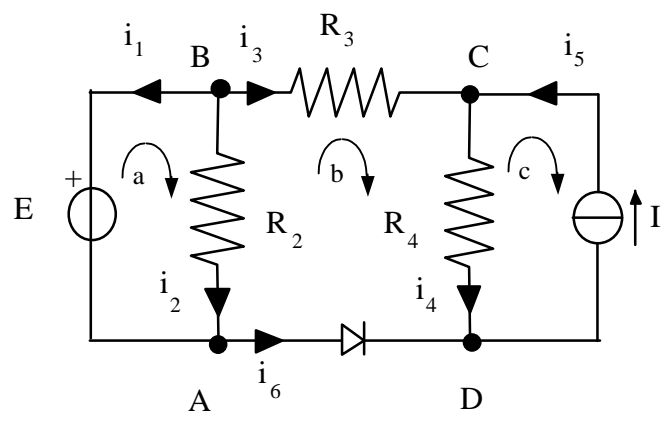
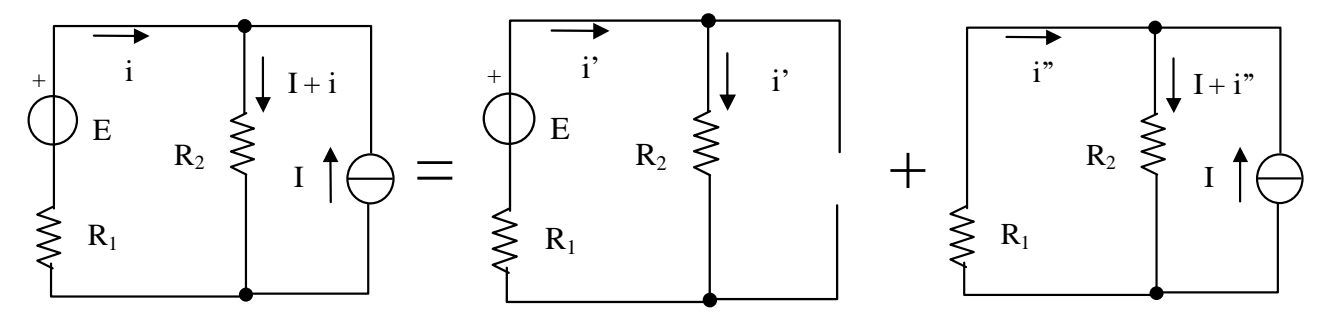


Figura 2

Applicando la LKT_m alle maglie così definite si ottiene il seguente sistema di equazioni lineari in cui compaiono solo le tensioni di ramo:

$$i = \frac{E}{R_1 + R_2} - \frac{R_2 I}{R_1 + R_2}$$

Ponendo
$$i' = \frac{E}{R_1 + R_2}$$
; $i'' = -\frac{R_2I}{R_1 + R_2}$ si ha $i = i' + i''$, dove i'ed i" sono le correnti nelle due sottoreti:



La prima è la rete che si ottiene da quella originaria, annullando l'azione del generatore <u>indipendente</u> di corrente, la seconda quella in cui è annullata l'azione del generatore <u>indipendente</u> di tensione. La figura illustra il concetto mostrando, nel contempo, in che modo si esclude l'azione dei generatori: i generatori indipendenti di tensione nulla sono equivalenti a cortocircuiti, i generatori indipendenti di corrente nulla sono equivalenti a circuiti aperti.

⁽o) Risolvere una rete <u>lineare</u> con il principio di sovrapposizione degli effetti significa allora scomporre la rete originaria in tante rete parziali quanti sono i generatori indipendenti, calcolare la corrente nei rami per ognuna di queste reti, e sommare algebricamente le correnti parziali. Si calcoli ad esempio la corrente i nella resistenza R₁ della rete di figura. Si ha:

$$(R - N + 1 = 3 \text{ equazioni LKT}_{m} \text{ in cui come incognite compaiono } R = 6 \text{ tensioni di ramo}$$

$$- v_{1} + v_{2} = 0$$

$$- v_{2} + v_{3} + v_{4} - v_{6} = 0$$

$$- v_{4} - v_{5} = 0$$
 (2.iii)

Le LKT_m (2.iii), le LKC_n (2.ii) e le relazioni costitutive (3) costituiscono un sistema di 2R equazioni, risolvendo il quale è possibile calcolare le 2R incognite tensioni e correnti di ramo.

$$(N-1=3 \text{ equazioni LKC}_n \text{ in cui compaiono} \\ \text{come incognite R} = 6 \text{ correnti di ramo}) \\ \begin{array}{c} i_1+i_2-i_6=0 \\ \\ -i_1-i_2-i_3=0 \\ i_3-i_4+i_5=0 \\ \\ v_1=E \\ \\ v_2=R_2 \ i_2 \\ v_3=R_3 \ i_3 \\ \text{cui compaiono come incognite R} = 6 \text{ tensioni} \\ \text{di ramo ed R} = 6 \text{ correnti di ramo}) \\ \end{array}$$

Infine, per tutti i componenti controllati in tensione (in questo esempio il ramo 5) o in corrente (in questo esempio i rami 1, 2, 3, e 4), è possibile sostituire le equazioni costitutive nelle LKT_m ed LKC_n . Tale sostituzione porta ad un sistema contenente un numero di equazioni pari a R + (Numero di componenti non controllati né in tensione né in corrente), in altrettante variabili (tensioni o correnti di ramo). Nell'esempio in oggetto otterremo quindi (dato che il diodo è l'unico componente presente non controllato né in tensione né in corrente) il seguente sistema di 7 equazioni nelle incognite v_5 , v_6 , i_1 , i_2 , i_3 , i_4 , i_6 :

$$-E + R_2 i_2 = 0$$

$$-R_2 i_2 + R_3 i_3 + R_4 i_4 - v_6 = 0 \qquad (3.i)$$

$$-R_4 i_4 - v_5 = 0$$

$$i_1 + i_2 - i_6 = 0$$

$$-i_1 - i_2 - i_3 = 0 \qquad (3.ii)$$

$$i_3 - i_4 + I = 0$$
(equazione costitutive dei componenti non controllati né in tensione né in corrente)
$$v_6 i_6 = 0 \qquad (3.iii)$$

Riassumendo, per applicare il metodo delle Leggi di Kirchhoff ad un circuito connesso qualunque (R = numero di rami del circuito, N = numero di nodi del circuito), si applica la LKT_m ad ogni maglia indipendente del circuito, si applica la LKC_n a tutti i nodi tranne uno e si chiude il sistema con le equazioni costitutive (caratteristiche) dei componenti:

$$R-N+1$$
 equazioni LKT_m
$$B \ v = 0$$

$$N-1 \ equazioni \ LKC_n \qquad \qquad A \ i = 0$$

$$R \ equazioni \ caratteristiche \qquad \qquad f(i,v)=0$$

dove \mathbf{v} è il vettore delle tensioni di ramo (dimensione R), \mathbf{i} è il vettore delle correnti di ramo (dimensione R), \mathbf{B} è una matrice costante $(R-N+1)\times R$ ed \mathbf{A} è una matrice costante $(N-1)\times R$. Il sistema risolvente contiene dunque 2R equazioni in 2R incognite. Tuttavia, se <u>tutti</u> i componenti

sono controllati in tensione o in corrente è possibile sostituire le caratteristiche nelle LKT ed LKC, giungendo ad un sistema risolvente di R equazioni in R incognite.

Metodo dei Tagli Fondamentali

Una differente semplificazione del sistema risolvente (2.iii), (2.ii), (3) si può ottenere osservando che le LKC_n (2.ii) permettono di esprimere la corrente in ciascun ramo di albero come una combinazione lineare delle correnti sui rami di coalbero. A tale scopo è sufficiente applicare la LKC_n a tutti i nodi dell'albero consecutivamente (tranne che al nodo di riferimento) Con riferimento all'albero definito nella figura 1.b risulta, per i nodi A, B e C:

$$i_{2} = -i_{1} + i_{6}$$

$$i_{3} = -i_{2} - i_{1} = -i_{6}$$

$$i_{4} = i_{3} + i_{5} = -i_{6} + i_{5}$$
(8)

(una relazione per ogni ramo di albero quindi in generale N-1 relazioni che esprimono le N - 1 correnti di albero in funzione delle R-N+1 correnti sui rami di coalbero; nell'esempio in oggetto possiamo quindi scrivere 3 relazioni che esprimono le 3 correnti di albero i_2 , i_3 e i_4 in funzione delle 3 correnti sui rami di coalbero i_1 , i_5 e i_6)

Le (8) possono essere ottenute anche applicando la Legge di Kirchhoff delle Correnti su superfici chiuse che intersecano un insieme di rami del grafo che vengono quindi "tagliati" da esse. Questo insieme prende il nome di <u>taglio</u>. In particolare, dato che l'albero associato al grafo è, per definizione, privo di maglie, è sempre possibile associare ad ogni ramo d'albero una superficie di taglio che intersechi, oltre ad esso, solo rami di coalbero. In figura 2.b sono illustrati tre superfici di taglio associati ai rami di albero (tagli fondamentali: [1, 2, 6], [3, 6], [4, 5, 6]) da cui è possibile ricavare direttamente le (8) applicando la Legge di Kirchhoff delle Correnti sui tagli (LKC_t).

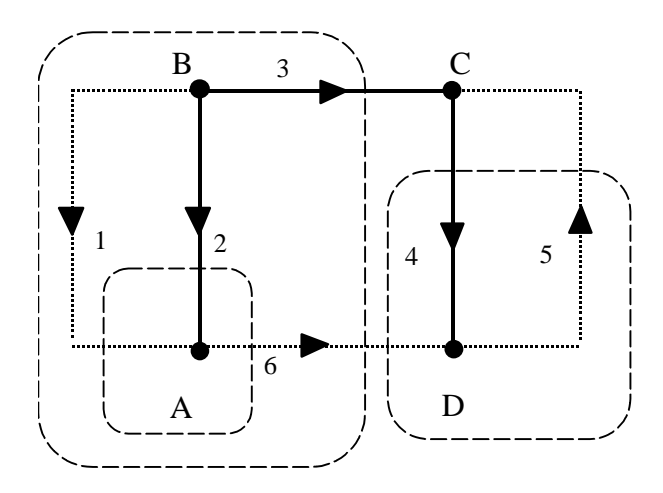


Figura 2.b

(N – 1 = 3 equazioni LKC_t in cui
$$i_2 = -i_1 + i_6$$
 compaiono come incognite R = 6 $i_3 = -i_6$ (8) $i_4 = -i_6 + i_5$

Dato che le (8) sono state ottenute applicando la Legge di Kirchhoff delle Correnti, esse risultano equivalenti alle (2.ii) (infatti sostituendo le (8) nelle (2.ii) si ottengono tre identità 0 = 0). Inoltre, per tutti i componenti sui rami di albero è possibile sostituire le relazioni (8) nelle relazioni costitu-

tive dei componenti. Tale sostituzione porta ad un sistema contenente un numero di equazioni pari a 2R - N + 1, in altrettante variabili (tensioni di ramo e correnti di coalbero). Nell'esempio in oggetto otterremo quindi il seguente sistema di 9 equazioni nelle incognite v_1 , v_2 , v_3 , v_4 , v_5 , v_6 , i_1 , i_5 , i_6 :

$$\begin{array}{l} -v_1+v_2=0 \\ -v_2+v_3+v_4-v_6=0 \\ -v_4-v_5=0 \\ \end{array}$$
 (2.iii)
$$\begin{array}{l} -v_1+v_2=0 \\ -v_2+v_3+v_4-v_6=0 \\ -v_4-v_5=0 \\ \end{array}$$
 (2.iii)
$$\begin{array}{l} -v_4-v_5=0 \\ -v_4-v_5=0 \\ \end{array}$$
 (2.iii)
$$\begin{array}{l} -v_4-v_5=0 \\ -v_4-v_5=0 \\ \end{array}$$
 (3.iii)
$$\begin{array}{l} -v_4-v_5=0 \\ -v_4-v_5=0 \\ \end{array}$$
 (8.i)
$$\begin{array}{l} -v_4-v_5=0 \\ -v_4-v_5=0 \\ \end{array}$$
 (8.i)
$$\begin{array}{l} v_4-v_5=0 \\ v_1=v_2-v_3+v_4-v_6=0 \\ \end{array}$$
 (8.i)
$$\begin{array}{l} v_3-v_3-v_4-v_6=0 \\ \end{array}$$
 (8.i)
$$\begin{array}{l} v_4-v_5-v_6=0 \\ \end{array}$$

Infine, per tutti i componenti controllati in corrente (in questo esempio i rami 1, 2, 3, e 4), è possibile sostituire le equazioni costitutive nelle LKT_m. Tale sostituzione porta ad un sistema contenente un numero di equazioni pari a R - N + 1 + (Numero di componenti non controllati in corrente), in altrettante variabili (tensioni di ramo o correnti di coalbero). Nell'esempio in oggetto otterremo quindi (dato che il diodo ed il generatore di corrente non sono controllati in corrente) il seguente sistema di 5 equazioni nelle incognite v_5 , v_6 , i_1 , i_5 , i_6 :

$$-E + R_2(-i_1 + i_6) = 0$$

$$-R_2(-i_1 + i_6) - R_3i_6 + R_4(-i_6 + i_5) - v_6 = 0$$

$$-R_4(-i_6 + i_5) - v_5 = 0$$
(equazione costitutive dei componenti non controllati in corrente)
$$i_5 = I$$

$$v_6i_6 = 0$$
(8.iii)

Si noti che risulta conveniente, se possibile, scegliere i rami dell'albero escludendo quelli contenenti generatori di corrente indipendenti. In tal caso infatti, si ottengono direttamente delle equazioni del tipo $i_5 = I$ (relazione costitutiva del generatore di corrente), che consentono di ridurre direttamente l'ordine del sistema.

Riassumendo, per applicare il metodo dei Tagli fondamentali ad un circuito connesso qualunque ($R = numero di rami del circuito, N = numero di nodi del circuito), si definisce un albero (ed un coalbero), si applica la LKT<math>_m$ ad ogni maglia fondamentale, si applica la LKC $_t$ ad ogni taglio fondamentale e si chiude il sistema con le equazioni costitutive (caratteristiche) dei componenti:

$$R-N+1$$
 equazioni LKT_m
$$\mathbf{B} \ \mathbf{v} = \mathbf{0}$$

$$N-1 \ \text{equazioni } LKC_t \ \text{ed} \ R-N+1 \ \text{identita}$$

$$\mathbf{i} = \mathbf{Q} \ \mathbf{i}_c$$

$$R \ \text{equazioni caratteristiche}$$

$$f(\mathbf{i}, \mathbf{v}) = \mathbf{0}$$

dove \mathbf{v} è il vettore delle tensioni di ramo (dimensione R), \mathbf{i} è il vettore delle correnti di ramo (dimensione R), \mathbf{i}_c è il vettore delle correnti dei rami di coalbero (dimensione R-N+1), \mathbf{B} è una matrice costante $(R-N+1) \times R$ ed \mathbf{Q} è una matrice costante $R \times (R-N+1)$ [le prime R-N+1 ri-

ghe di **Q** corrispondono ad identità]. È dunque sempre possibile sostituire le LKC nelle equazioni caratteristiche ottenendo il sistema ridotto

$$R-N+1$$
 equazioni LKT_m
$$\mathbf{B} \ \mathbf{v} = \mathbf{0}$$

$$R \ \text{equazioni caratteristiche} \qquad \qquad f\left(\mathbf{Q} \ \mathbf{i}_{c}, \ \mathbf{v}\right) = \mathbf{0}$$

Il sistema risolvente contiene dunque 2R - N + 1 equazioni in 2R - N + 1 incognite. Tuttavia, se <u>tutti</u> i componenti sono controllati in corrente, cioè se $f(\mathbf{i}, \mathbf{v}) = \mathbf{v} - h(\mathbf{i})$, è possibile sostituire le caratteristiche nelle LKT, giungendo ad un sistema risolvente di R - N + 1 equazioni nelle R - N + 1 incognite "correnti dei rami di coalbero".

$$R - N + 1$$
 equazioni LKT_m
$$\mathbf{B} h(\mathbf{Q} \mathbf{i}_{c}) = \mathbf{0}$$

Metodo dei potenziali di nodo

Quando il numero dei nodi N del circuito è piccolo, è possibile e conveniente utilizzare il metodo dell'analisi dei nodi per scrivere un sistema risolvente di (N-1) equazioni nelle (N-1) tensioni di nodo incognite del circuito. A tale scopo si considerino nuovamente le (2.i), (2.ii) e (3):

$$\begin{array}{c} v_1 = e_B - e_A \\ v_2 = e_B - e_A \\ v_3 = e_B - e_C \\ v_4 = e_C \\ v_5 = - e_C \\ v_6 = e_A \\ \end{array}$$

Per tutti i componenti sui rami di albero è possibile sostituire le relazioni (2.i) nelle relazioni costitutive dei componenti (3). Tale sostituzione porta ad un sistema contenente un numero di equazioni pari a R + N - 1, in altrettante variabili (potenziali di nodo e correnti di ramo). Nell'esempio in oggetto otterremo quindi il seguente sistema di 9 equazioni nelle incognite e_A , e_B , e_C , i_1 , i_2 , i_3 , i_4 , i_5 , i_6 :

 $(R=6 \ equazioni \ costitutive \ dei \ componenti \ in cui compaiono come incognite \ R=6 \ correnti \ di ramo \ ed \ N-1=3 \ potenziali \ di \ nodo)$

$$e_{B} - e_{A} = E$$
 $e_{B} - e_{A} = R_{2}i_{2}$
 $e_{B} - e_{C} = R_{3}i_{3}$
 $e_{C} = R_{4}i_{4}$
 $i_{5} = I$
 $e_{A}i_{6} = 0$
(9.i)

Infine, per tutti i componenti controllati in tensione (in questo esempio i rami 2, 3, 4 e 5), è possibile esplicitare le correnti e sostituire le equazioni costitutive nelle LKT [$i_2 = (e_B - e_A)/R_2$, $i_3 = (e_B - e_C)/R_3$, $i_4 = e_C/R_4$, $i_5 = I$]. Tale sostituzione porta ad un sistema contenente un numero di equazioni pari a N – 1 + (Numero di componenti non controllati in tensione), in altrettante variabili (correnti di ramo o potenziali di nodo). Nell'esempio in oggetto otterremo quindi (dato che il diodo ed il generatore di tensione non sono controllati in tensione) il seguente sistema di 5 equazioni nelle incognite e_A , e_B , e_C , i_1 , i_6 :

$$i_{1} + \frac{e_{B} - e_{A}}{R_{2}} - i_{6} = 0$$

$$(N - 1 = 3 \text{ equazioni LKC}_{n})$$

$$-i_{1} - \frac{e_{B} - e_{A}}{R_{2}} - \frac{e_{B} - e_{C}}{R_{3}} = 0$$

$$\frac{e_{B} - e_{C}}{R_{3}} - \frac{e_{C}}{R_{4}} + I = 0$$

$$(equazioni costitutive dei componenti non controllati in tensione)$$

$$e_{B} - e_{A} = E$$

$$e_{A} i_{6} = 0$$

$$(9.iii)$$

Riassumendo, per applicare il metodo dei potenziali di nodo ad un circuito connesso qualunque (R = numero di rami del circuito, N = numero di nodi del circuito), si prende arbitrariamente un nodo come nodo di riferimento del circuito, si applica la LKT_r ad ogni ramo del circuito, si applica la LKC_n a tutti i nodi tranne quello di riferimento e si chiude il sistema con le equazioni costitutive (caratteristiche) dei componenti:

R equazioni LKT
$$_{\rm r}$$
 ${f v}={f M}~{f e}$
$$N-1~{\rm equazioni}~{\rm LKC}_{\rm n}$$
 ${f A}~{f i}={f 0}$ R equazioni caratteristiche ${f f}({f i},{f v})={f 0}$

dove \mathbf{v} è il vettore delle tensioni di ramo (dimensione \mathbf{R}), \mathbf{i} è il vettore delle correnti di ramo (dimensione \mathbf{R}), \mathbf{e} è il vettore delle tensioni di nodo (dimensione $\mathbf{N}-1$), \mathbf{M} è una matrice costante $\mathbf{R}\times (\mathbf{N}-1)$ ed \mathbf{A} è una matrice costante $(\mathbf{N}-1)\times \mathbf{R}$. È dunque sempre possibile sostituire le LKT nelle equazioni caratteristiche ottenendo il sistema ridotto

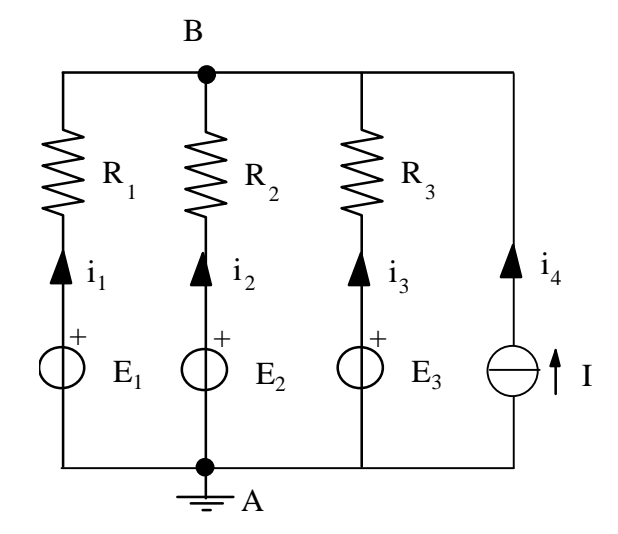
N – 1 equazioni LKC
$$_{\rm n}$$
 ${\bf A}~{f i}={f 0}$ R equazioni caratteristiche ${f f}({f i},{f M}~{f e})={f 0}$

Il sistema risolvente contiene dunque R + N - 1 equazioni in R + N - 1 incognite. Tuttavia, se <u>tutti</u> i componenti sono controllati in tensione, cioè se $f(\mathbf{i}, \mathbf{v}) = \mathbf{i} - g(\mathbf{v})$, è possibile sostituire le caratteri-

stiche nelle LKC, giungendo ad un sistema risolvente di N-1 equazioni nelle N-1 incognite "tensioni di nodo".

N – 1 equazioni LKC_n
$$\mathbf{A} \mathbf{g}(\mathbf{M} \mathbf{e}) = \mathbf{0}$$

Il metodo dei potenziali di nodo è particolarmente utile quando il numero di nodi è piccolo e tutti i componenti sono controllati in tensione. Come esempio limite si consideri il circuito illustrato nella figura, che contiene un solo nodo indipendente (N – 1 = 1). Tre componenti, costituiti ciascuno da un generatore indipendente di tensione e da un resistore collegati in serie (generatore di tensione reale), sono collegati in parallelo a un generatore di corrente. Prendendo il nodo A come nodo di riferimento, è presente una sola tensione di nodo $e_B = v_{BA}$ incognita.



Ciascuno dei componenti è controllato in tensione. Infatti, dalla legge costitutiva dei componenti, si può esprimere la corrente in ogni ramo del circuito in funzione della tensione ai suoi capi:

$$v_{BA} = E_k - R_k i_k$$
 \Rightarrow $i_k = G_k (v_{BA} - E_k)$, $k = 1, 2, 3$ $i_4 = I$ (12)

La tensione ai capi di ciascun ramo, dalle LKT_r può essere espressa come differenza delle tensioni di nodo dei nodi cui il ramo è collegato. Il sistema risolvente si ottiene scrivendo la LKC_n per ogni nodo del circuito, escluso quello di riferimento, e risulta quindi costituito da (N-1)=1 equazioni nelle (N-1)=1 tensioni di nodo incognite. Con riferimento all'esempio di figura risulta:

$$i_1 + i_2 + i_3 + i_4 = 0 \implies \sum_{k=1}^{3} G_k (E_k - v_{BA}) + I = 0 \implies v_{BA} = \frac{\sum_{k=1}^{3} G_k E_k + I}{\sum_{k=1}^{3} G_k} = \frac{\sum_{k=1}^{3} \frac{E_k}{R_k} + I}{\sum_{k=1}^{3} \frac{1}{R_k}}$$
 (13)

L'ultima relazione delle (13), che mostra la relazione tra la tensione di nodo v_{BA} , le tensioni e la corrente impresse dei generatori e le resistenze dei rami stessi; viene anche indicata col nome di **Teorema di Millman**, e può essere estesa ad un numero qualsiasi di generatori reali in parallelo.

Supponendo, ad esempio, che i dati del problema siano: $E_1 = 110 \text{ V}$, $E_2 = 105 \text{ V}$, $E_3 = 0 \text{ V}$, $R_1 = 0.5 \Omega$, $R_2 = 0.5 \Omega$, $R_3 = 5 \Omega$, I = 3 A dalla (13) si ottiene $v_{BA} = 103.1 \text{ V}$ e sostituendo nelle (12) $i_1 = 13.8 \text{ A}$, $i_2 = 3.8 \text{ A}$, $i_3 = -20.6 \text{ A}$.

Teorema di Thevenin

Ipotesi. Sono dati due bipoli, L ed N collegati come illustrato nella figura 3. Il bipolo L è lineare e controllato in corrente, mentre il bipolo N può essere qualsiasi, anche non lineare.

Tesi. Limitatamente alla corrente i ed alla tensione v_{AB} alla porta, il circuito che si ottiene sostituendo il bipolo L (quello lineare) con un generatore di tensione ed un bipolo L' collegati in serie, è equivalente in ogni istante al circuito originale. Il bipolo L' si ottiene dal bipolo L annullando le grandezze impresse dei generatori indipendenti di tensione e di corrente eventualmente presenti (i generatori indipendenti di tensione vengono quindi sostituiti con dei corto-circuiti ed i generatori indipendenti di corrente vengono sostituiti con dei circuiti aperti). La tensione impressa E_0 del generatore di tensione di Thevenin è pari al valore della tensione v_{AB} alla porta del bipolo L quando la corrente i è nulla (È da notare che il verso positivo di E_0 è arbitrario: una volta scelto il verso positivo, il valore di E_0 è pari alla tensione v_{AB} se il terminale positivo è A, è pari invece a $-v_{AB}$ se il terminale positivo è B)

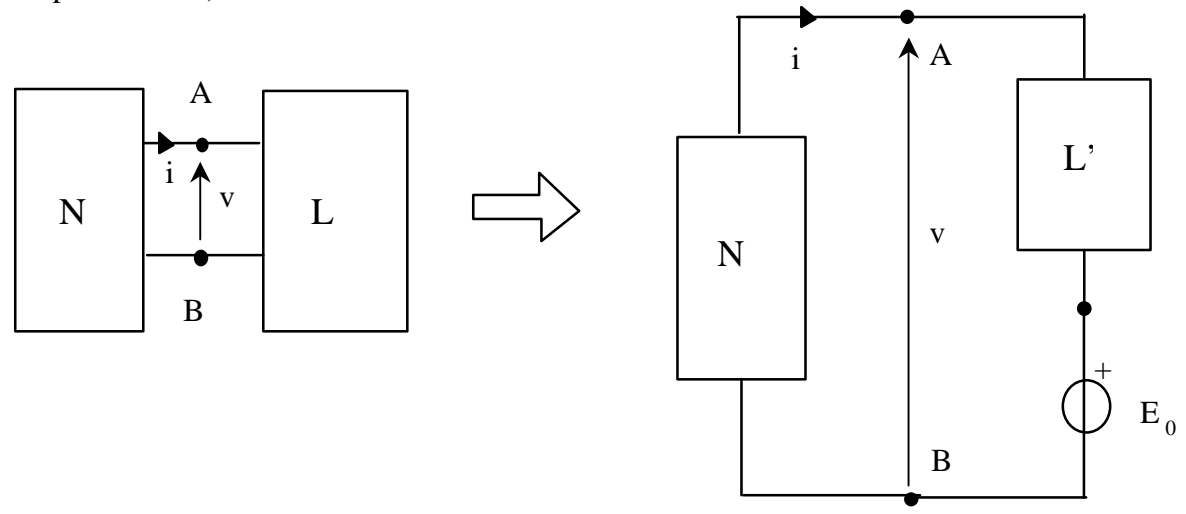
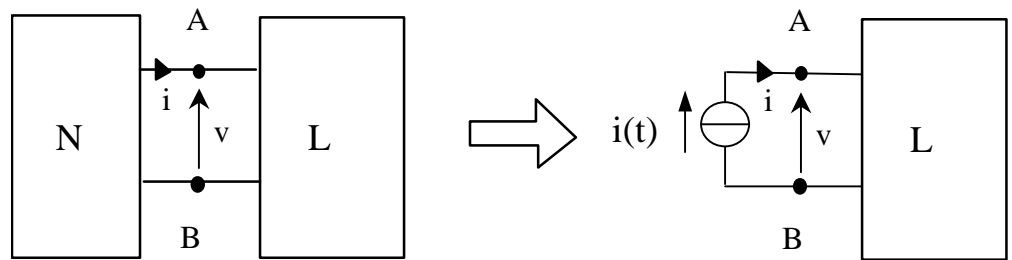
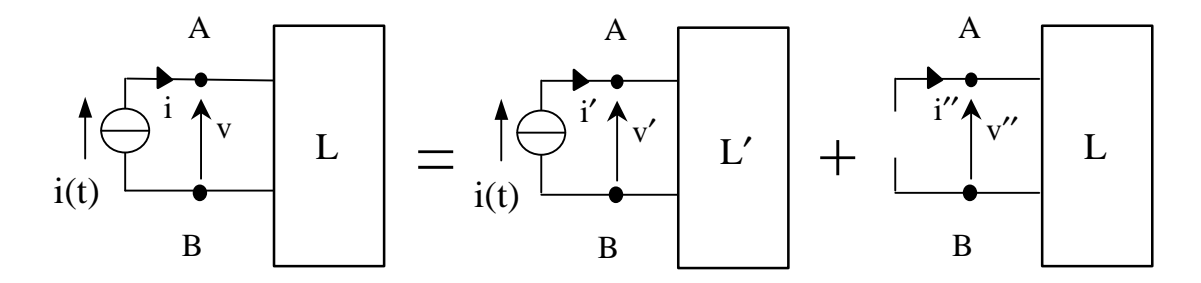


Figura 3 Teorema di Thevenin

Dimostrazione: poiché il bipolo L è controllato in corrente (data la corrente è possibile determinare la tensione ai terminali), è possibile, ai fini del calcolo della tensione v, sostituire al bipolo N un generatore di corrente indipendente la cui corrente impressa i(t) coincide con la corrente assorbita dal bipolo L.



Dato che il bipolo L è lineare, è possibile applicare il principio di sovrapposizione degli effetti. In particolare, consideriamo due circuiti: nel primo azzeriamo i generatori indipendenti in L (e indicheremo tale bipolo con L', nel secondo azzeriamo il generatore indipendente di corrente (come già visto, i generatori indipendenti di tensione nulla sono equivalenti a cortocircuiti, i generatori indipendenti di corrente nulla sono equivalenti a circuiti aperti.).



Si ha:

i = i' + i", dove i'ed i" sono le correnti nelle due sottoreti:

e

v = v' + v", dove v'ed v" sono le tensioni nelle due sottoreti:

È evidente tuttavia che i' = i (t) e che i'' = 0. Inoltre, applicando la LKT alle due sottoreti otteniamo (si ricordi che per ipotesi L è controllato in corrente):

$$v' = V_{L'}(i') = V_{L'}(i)$$

$$v'' = V_L(i'') = V_L(0)$$

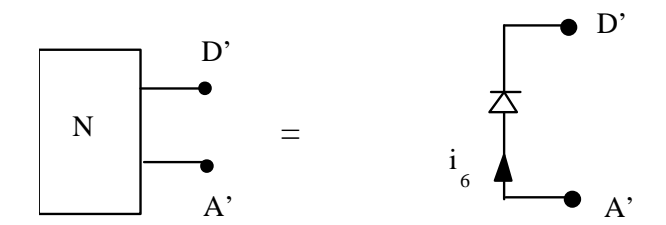
dove $V_{L'}()$ ed $V_{L'}()$ rappresentano le caratteristiche dei bipoli L' ed L, rispettivamente. Infine, definendo $E_0 = V_L(0) = v_{AB}|_{L \text{ a vuoto}}$ si ottiene:

$$v = V_{L'}(i) + E_0$$

che è proprio la caratteristica del bipolo equivalente mostrato in figura 3. Il teorema di Thevenin, come enunciato, è valido in regime qualsiasi. In particolare, in regime stazionario (corrente continua) si ha che "Un circuito lineare L con due terminali controllato in corrente è equivalente a un generatore di tensione reale (bipolo di Thevenin) formato da un generatore indipendente di tensione E_0 in serie con un resistore R_e , in cui E_0 è la tensione a vuoto ai terminali e R_e è la resistenza vista ai terminali quando i generatori indipendenti sono spenti". Infatti, poiché il bipolo L è lineare e controllato in corrente, la sua relazione costitutiva è esprimibile per ipotesi come $V_{L^*}(i) = R_e$ i. Questo è sufficiente a definire univocamente il valore di R_e . Risulta infatti:

$$R_{e} = V_{L^{'}}(i) / i = (v_{AB} / i)_{Generatori \, \underline{Indipendenti} \, di \, L \, Spenti}$$

Si può applicare il teorema di Thevenin alla soluzione del circuito di figura 1 considerando come bipolo N il diodo ideale e quindi come bipolo L l'insieme di tutti gli altri componenti del circuito (vedi figura 4.a). Il bipolo L' è quello indicato nella figura 4.b, mentre il valore della tensione E_0 viene calcolato risolvendo il circuito riportato nella figura 4.c ed è dato dalla relazione (10).



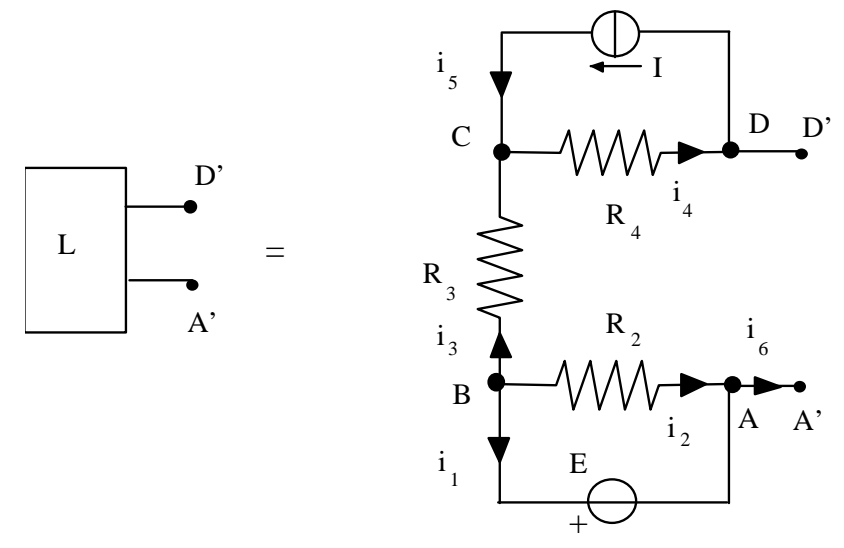


Figura 4.a

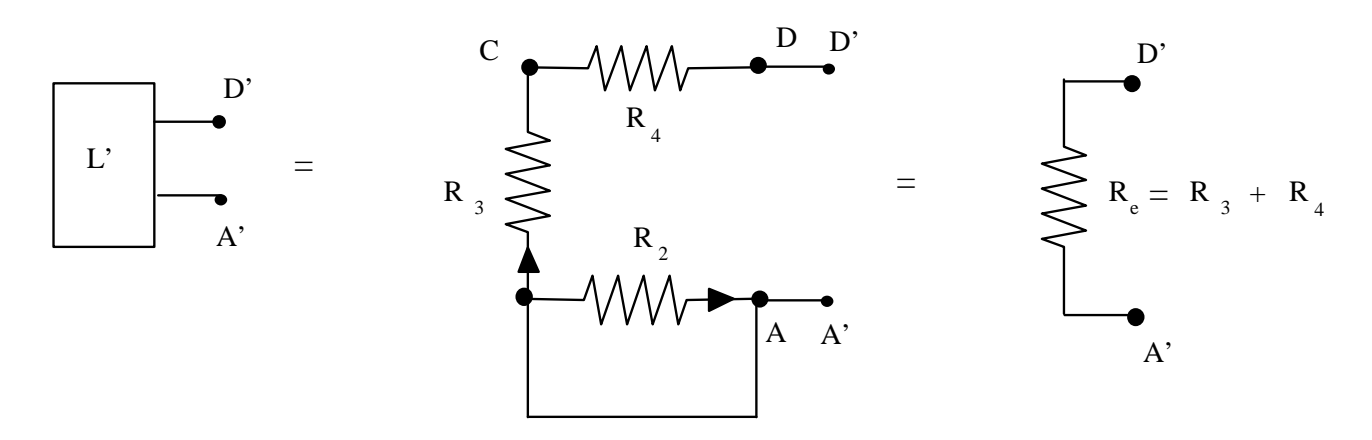


Figura 4.b

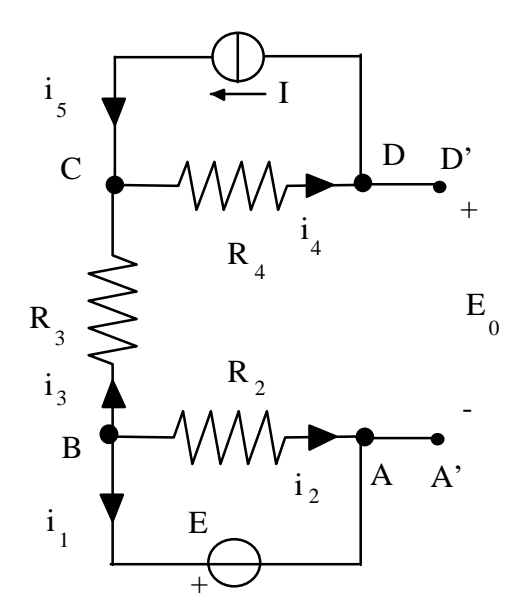


Figura 4.c – La soluzione del circuito di figura è immediata notando che il ramo 3 costituisce un taglio fondamentale. Pertanto $i_3 = 0$, e dunque si ha che

$$i_4=i_5=I$$
 ed $i_2=-i_1=E/R_2$

Infine la valutazione di E_0 si ottiene applicando la LKT alla sequenza ABCDA:

$$0 = -R_2 i_2 + R_3 i_3 + R_4 i_4 + E_0$$
ovvero
 $E_0 = E - R_4 I$

$$E_0 = E - R_4 I$$
 (10)

Infine il valore della corrente i_6 viene ottenuto risolvendo il circuito illustrato nella figura 5, ottenuto sostituendo il bipolo L con il suo circuito equivalente di Thevenin.

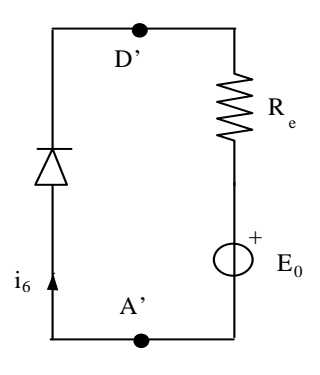


Figura 5

Si ritrova quindi che sono possibili due casi: diodo interdetto oppure diodo in conduzione. Se il diodo è interdetto allora la corrente i_6 è nulla e la tensione v_{AD} , che essendo nulla la caduta di tensione sulla resistenza R_e (corrente nulla) coincide con $-E_0$, deve essere minore od uguale a zero, da cui scende ancora la relazione (7). Se il diodo è in conduzione allora la corrente i_6 è pari a $-E_0/R_e$ e deve risultare maggiore od uguale a zero, da cui si ricava nuovamente la (5).

Supponendo ad esempio che i dati del problema siano i seguenti: E = 24 V, I = 4 A, $R_2 = 2 \Omega$, $R_3 = 12 \Omega$, $R_4 = 8 \Omega$ risulta:

e quindi dalla soluzione del circuito di figura 5 e dalle leggi di Kirchhoff per il circuito di figura 1 si ottiene:

$$v_6 = 0$$

$$i_6 = -\frac{E - R_4 I}{R_3 + R_4} = 0.4 A$$

$$i_4 = I - i_6 = 3.6 A$$

$$v_4 = R_4 i_4 = 28.8 V$$

$$i_5 = I = 4 A$$

$$v_5 = -v_4 = -28.8 V$$

$$i_3 = -i_6 = -0.4 A$$

$$v_3 = R_3 i_3 = -4.8 V$$

$$v_2 = E = 24 V$$

$$i_2 = \frac{v_2}{R_2} = 12 A$$

$$v_1 = E = 24 V$$

$$i_1 = i_6 - i_2 = -11.6 A$$

È da notare che la soluzione del circuito di figura 1 in cui sono presenti solo generatori e resistori (lineari e non), cioè elementi privi di memoria, si ottiene mediante relazioni algebriche, in ogni istante, dal valore che in quell'istante hanno le eccitazioni del sistema, cioè le grandezze impresse dei generatori.

Analogo al teorema di Thevenin, con ipotesi simili e le stesse possibilità di applicazione è il teorema di Norton.

Teorema di Norton

Ipotesi. Sono dati due bipoli, L ed N collegati come illustrato nella figura 6. Il bipolo L è lineare e controllato in tensione, mentre il bipolo N può essere qualsiasi, anche non lineare.

Tesi. Limitatamente alla corrente i ed alla tensione v_{AB} alla porta, il circuito che si ottiene sostituendo il bipolo L (quello lineare) con un generatore di corrente ed un bipolo L' collegati in parallelo, è equivalente in ogni istante al circuito originale. Il bipolo L' si ottiene dal bipolo L annullando le grandezze impresse dei generatori indipendenti di tensione e di corrente eventualmente presenti (il bipolo L' è lo stesso che interviene nel teorema di Thevenin). La corrente impressa I_c del generatore di corrente di Norton è pari al valore della corrente i alla porta del bipolo L quando la tensione v_{AB} è nulla (E' da notare che il verso positivo di I_c è arbitrario: una volta scelto il verso positivo il valore di I_c è pari alla corrente i se la punta della freccia punta verso il terminale dove la corrente i esce da L, è pari invece a –i se la punta della freccia punta verso il terminale dove la corrente i entra in L)

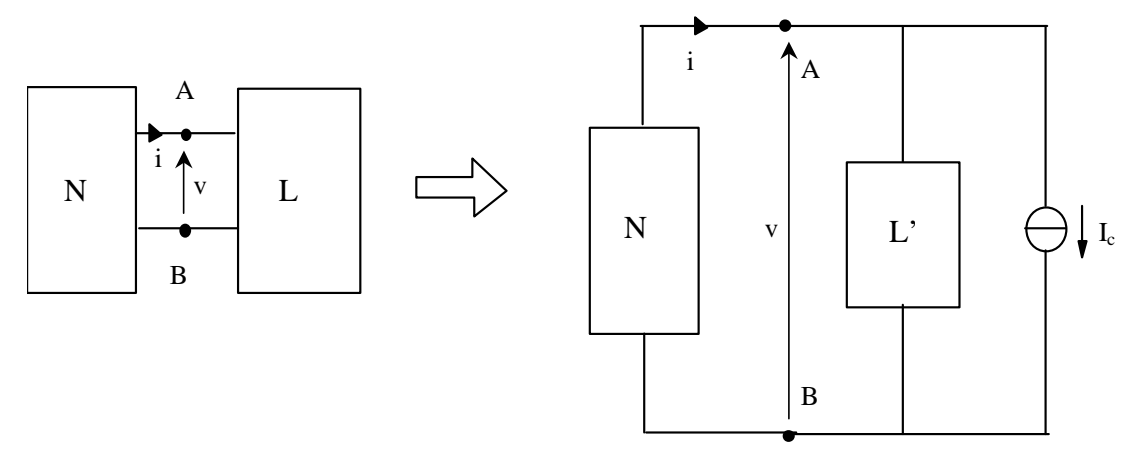
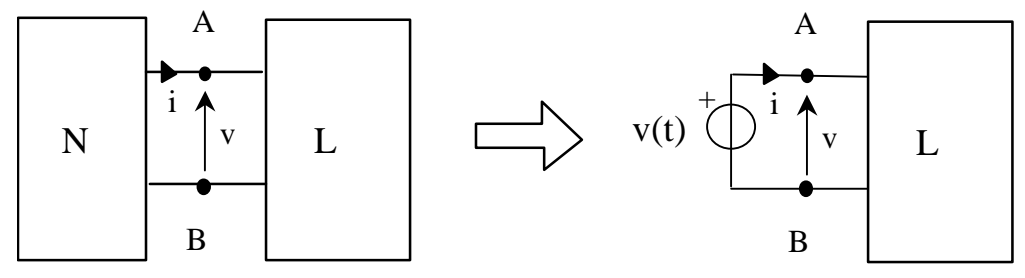
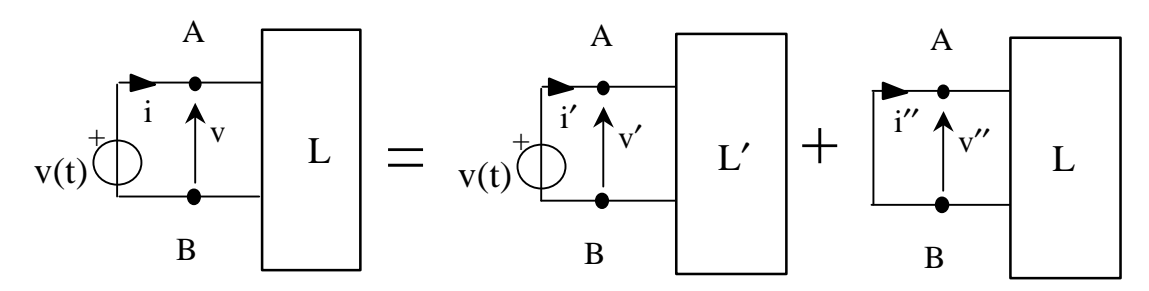


Figura 6 Teorema di Norton

Dimostrazione: poiché il bipolo L è controllato in tensione (data la tensione è possibile determinare la corrente assorbita), è possibile, ai fini del calcolo della corrente i, sostituire al bipolo N un generatore di tensione indipendente la cui tensione impressa v(t) coincide con la tensione ai terminali del bipolo L.



Dato che il bipolo L è lineare, è possibile applicare il principio di sovrapposizione degli effetti. In particolare, consideriamo due circuiti: nel primo azzeriamo i generatori indipendenti in L (e indicheremo tale bipolo con L', nel secondo azzeriamo il generatore indipendente di tensione (come già visto, i generatori indipendenti di tensione nulla sono equivalenti a cortocircuiti, i generatori indipendenti di corrente nulla sono equivalenti a circuiti aperti.).



Si ha:

i = i' + i'', dove i' ed i'' sono le correnti nelle due sottoreti:

e

v = v' + v", dove v'ed v" sono le tensioni nelle due sottoreti:

È evidente tuttavia che v' = v (t) e che v'' = 0. Inoltre, applicando la LKC alle due sottoreti otteniamo (si ricordi che per ipotesi L è controllato in tensione):

$$i' = I_{L'}(v') = I_{L'}(v)$$

$$i'' = I_L(v'') = I_L(0)$$

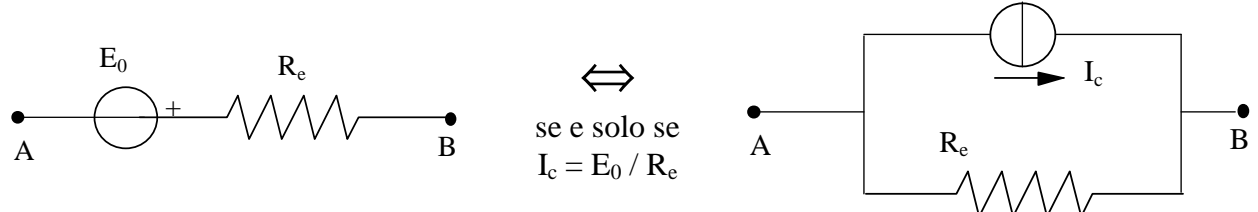
dove $I_{L'}$ () ed $I_{L'}$ () rappresentano le caratteristiche dei bipoli L' ed L, rispettivamente. Infine, definendo $I_c = I_L$ (0) = $i|_{L \text{ in cortocircuito}}$ si ottiene:

$$i = I_{L'}(v) + I_c$$

che è proprio la caratteristica del bipolo equivalente mostrato in figura 6. Il teorema di Norton, come enunciato, è valido in regime qualsiasi. In particolare, in regime stazionario (corrente continua) si ha che "Un circuito lineare L con due terminali controllato in tensione è equivalente a un bipolo (bipolo di Norton) formato da un generatore indipendente di corrente I_c in parallelo con un resistore R_e , in cui I_c è la corrente di cortocircuito tra i terminali e R_e è la resistenza vista ai terminali quando i generatori indipendenti sono spenti". Infatti, poiché il bipolo L è lineare e controllato in tensione, la sua relazione costitutiva è esprimibile per ipotesi come $I_{L'}(v) = v/R_e$. Questo è sufficiente a definire univocamente il valore di R_e . Risulta infatti:

$$R_e = v/I_{L^*}(v) = (v_{AB}/i)_{Generatori \ \underline{Indipendenti} \ di \ L \ Spenti}$$

Si noti che tale espressione coincide con quella trovata nel teorema di Thevenin. Infatti, applicando il teorema di Norton al bipolo di Thevenin in regime stazionario (corrente continua) si ottiene l'equivalenza mostrata in figura, valida se $I_c = E_0 \, / \, R_e$, ovvero se $E_0 = R_e \, I_c$.



Si può applicare il teorema di Norton alla soluzione del circuito di figura 1 considerando come bipolo N il diodo ideale e quindi come bipolo L l'insieme di tutti gli altri componenti del circuito (vedi figura 7.a). Il bipolo L' è quello indicato nella figura 7.b, mentre il valore della corrente I_c viene calcolata risolvendo il circuito riportato nella figura 7.c ed è dato dalla relazione (11).

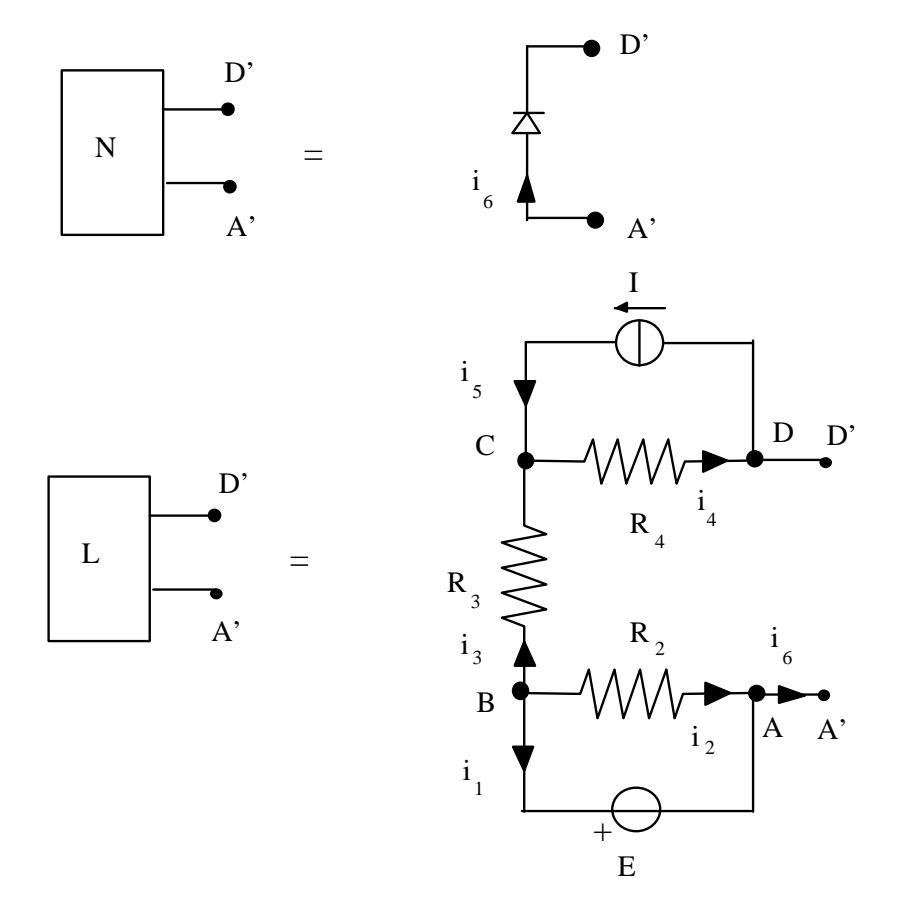
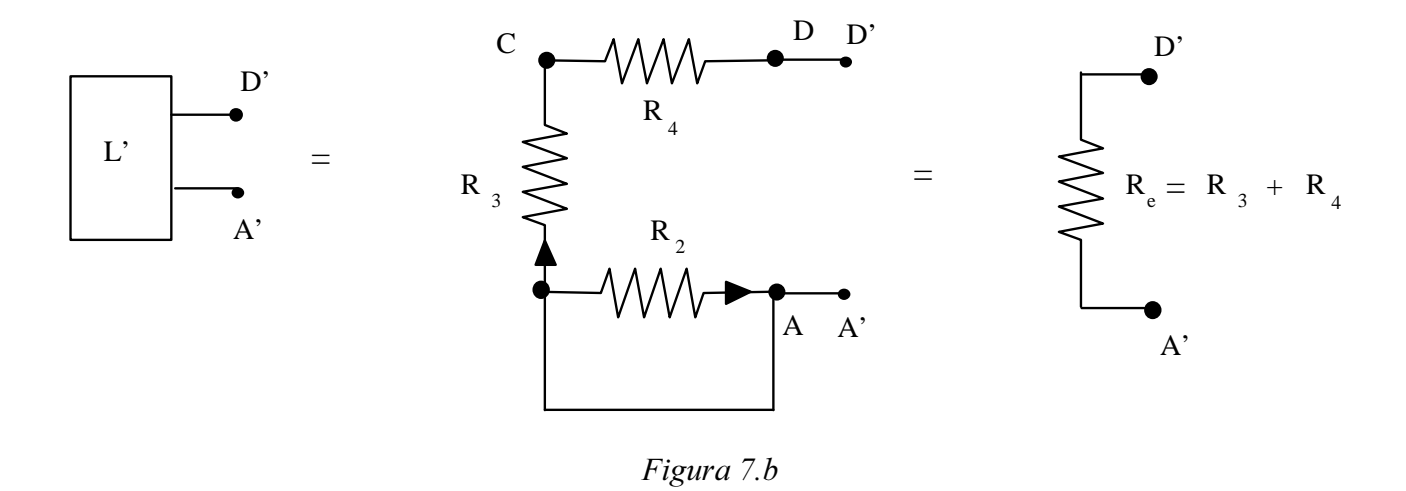
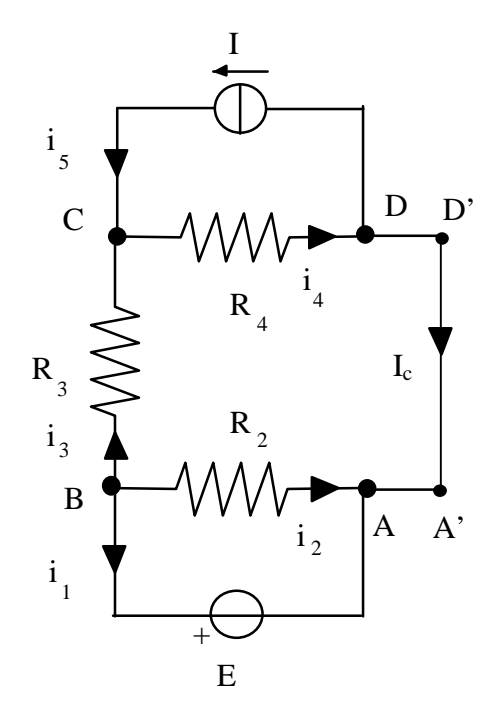


Figura 7.a





$$I_{c} = \frac{E - R_{4}I}{R_{3} + R_{4}} \tag{11}$$

Infine il valore della corrente i₆ viene ottenuto risolvendo il circuito illustrato nella figura 8, ottenuto sostituendo il bipolo L con il suo circuito equivalente di Norton.

Figura 7.c – La soluzione del circuito di figura è immediata notando che:

$$i_{5} = I$$
 $i_{4} = I + I_{c}$
 $i_{3} = I_{c}$
 $i_{2} = E/R_{2}$
 $i_{1} = -I_{c} - E/R_{2}$

Infine la valutazione di I_c si ottiene applicando la LKT alla sequenza ABCDA:

$$0 = -R_2 i_2 + R_3 i_3 + R_4 i_4$$
 $0 = -E + R_3 I_c + R_4 (I + I_c)$
ovvero
 $(R_3 + R_4) I_c = E - R_4 I$

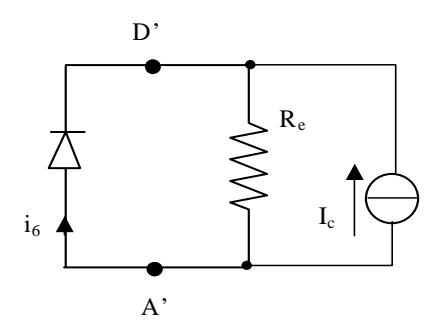
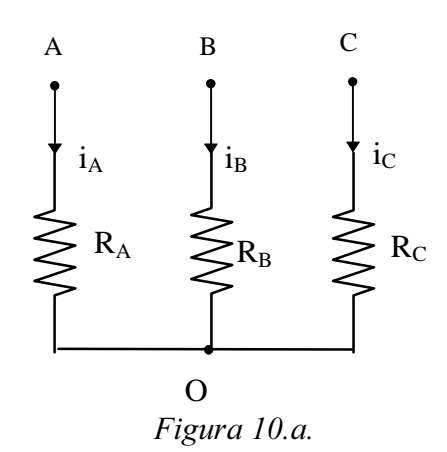


Figura 8

Si ritrova quindi che sono possibili due casi: diodo interdetto oppure diodo in conduzione. Se il diodo è interdetto allora la corrente i_6 è nulla e la tensione $v_{A'D'}$, che coincide con la caduta di tensione sulla resistenza R_e , cioè con $-R_e$ I_c , deve essere minore od uguale a zero, da cui discende ancora la relazione (7). Se il diodo è in conduzione allora la corrente i_6 è pari $a-I_c$ e deve risultare maggiore od uguale a zero, da cui si ricava nuovamente la (5).

Trasformazioni stella-triangolo e triangolo-stella

Nella figura 10.a sono mostrati tre resistori collegati a stella; nella figura 10.b sono mostrati tre resistori collegati a triangolo. Entrambi i sistemi costituiscono un tripolo che viene collegato al circuito esterno attraverso i tre terminali A, B e C. Facendo uso delle Leggi di Kirchhoff e delle relazioni costitutive dei resistori è possibile dimostrare che, per quanto riguarda le tensioni e le correnti ai terminali (i_A, i_B e i_C), è possibile sostituire tre resistori collegati a stella con tre resistori, di resistenza opportuna, collegati a triangolo e viceversa. La sostituzione va intesa



nel senso che qualunque sia il sistema di tensioni applicate ai terminali A, B e C il sistema di correnti assorbito dai due carichi è lo stesso.

Con riferimento alle figure 10a e 10b, le espressioni delle resistenze equivalenti per le trasformazioni stella-triangolo e triangolo-stella sono le seguenti dove è indicata con G la conduttanza, cioè l'inverso della resistenza R.

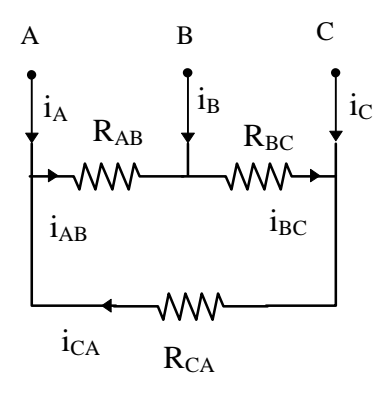


Figura 10.b.

Trasformazione triangolo-stella

$$R_{A} = \frac{R_{AB}R_{CA}}{R_{AB} + R_{BC} + R_{CA}}$$

$$R_{B} = \frac{R_{BC}R_{AB}}{R_{AB} + R_{BC} + R_{CA}}$$

$$R_{C} = \frac{R_{CA}R_{BC}}{R_{AB} + R_{BC} + R_{CA}}$$

Trasformazione stella-triangolo

$$G_{AB} = \frac{G_A G_B}{G_A + G_B + G_C}$$

$$G_{BC} = \frac{G_B G_C}{G_A + G_B + G_C}$$

$$G_{CA} = \frac{G_C G_A}{G_A + G_B + G_C}$$

A titolo di esempio sui generatori pilotati, si consideri il circuito illustrato nella figura 31.a, in cui si richiede di determinare il rapporto tra la potenza dissipata dalle resistenze e la potenza erogata dal generatore indipendente.

Poiché il regime è stazionario, V_{AB} è costante e dalla (18) si ottiene:

$$i_c = C \frac{dV_{AB}}{dt} = 0$$

indipendentemente dal valore della capacità. Pertanto, in regime stazionario, il condensatore si comporta come un circuito aperto.

Analogamente, poiché il regime è stazionario, i_2 è costante e dalla (14) si ottiene:

$$V_{CD} = L \frac{di_2}{dt} = 0$$

indipendentemente dal valore dell'induttanza. Pertanto, in regime stazionario, l'induttore si comporta come un corto circuito.

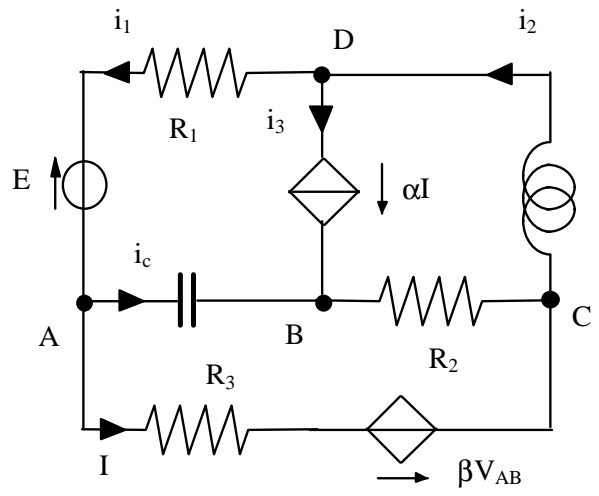


Figura 31.a.

Si può quindi fare riferimento al circuito semplificato di figura 31.b. Il calcolo delle correnti è immediato, infatti:

$$i_1 = I$$

$$i_3 = \alpha I$$

$$i_2 = i_1 + i_3 = (\alpha + 1)I$$

Visto che il generatore di corrente è pilotato dalla tensione V_{AB} , conviene calcolare tale tensione, considerando il ramo superiore ed il ramo inferiore:

$$V_{AB} = -E - R_1 i_1 - R_2 i_3$$

 $V_{AB} = R_3 i_1 - \beta V_{AB} - R_2 i_3$

Sostituendo i valori delle correnti, si ottiene:

$$V_{AB} = -E - (R_1 + \alpha R_2)I$$
 (41.a)

$$(1+\beta)V_{AB} = (R_3 - \alpha R_2)I$$
 (41.b)

Dalla seconda delle (41) si ricava immediatamente:

$$V_{AB} = \left(\frac{R_3 - \alpha R_2}{1 + \beta}\right) I \tag{42}$$

Sostituendo questa relazione nella prima delle (41) e risolvendo rispetto ad I, si ottiene:

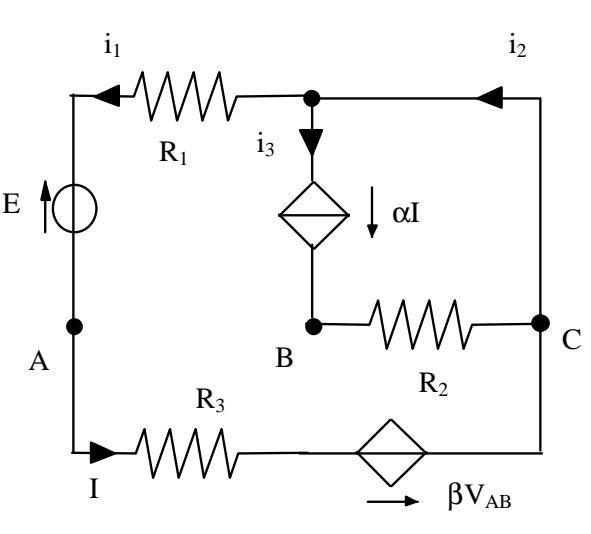


Figura 31.b.

$$I = \frac{-(1+\beta)E}{(R_3 - \alpha R_2) + (1+\beta)(R_1 + \alpha R_2)}$$
(43)

Il rapporto tra la potenza dissipata dalle resistenze e la potenza erogata dal generatore indipendente è dato da:

$$\frac{P_{d}}{P_{E}} = \frac{(R_{1} + R_{3})i_{1}^{2} + R_{2}i_{3}^{2}}{-Ei_{1}} = -\frac{(R_{1} + R_{3}) + R_{2}\alpha^{2}}{E}I = (1 + \beta)\frac{(R_{1} + R_{3}) + R_{2}\alpha^{2}}{(R_{3} - \alpha R_{2}) + (1 + \beta)(R_{1} + \alpha R_{2})}$$
(44)

Supponendo, ad esempio, che i dati del problema siano: E = 6 V, $\alpha = 3$, $\beta = 2$, $R_1 = 1 \Omega$, $R_2 = 3 \Omega$, $R_3 = 2 \Omega$, dalla (43) si ottiene I = -0.783 A e sostituendo nella (44) $P_d/P_E = 3.913$. Si noti che tale rapporto risulta maggiore di uno in quanto anche i generatori pilotati erogano potenza.

CIRCUITI CON MEMORIA

Vengono detti circuiti con memoria quelli in cui è presente almeno un componente dotato di memoria; in questo caso il sistema risolvente del circuito stesso è costituito da un sistema di equazioni non più algebriche, come nel caso dei circuiti senza memoria, ma, in generale integro-differenziali ed il valore di tutte le grandezze incognite in un generico istante può essere calcolato dalla conoscenza del valore delle grandezze impresse del circuito in tutto l'intervallo temporale precedente all'istante considerato, a partire da un istante iniziale in cui sono note le variabili di stato del sistema (quelle grandezze cui è associata una energia elettromagnetica immagazzinata nel circuito: tensione ai capi dei condensatori e corrente attraverso gli induttori). Tutti i metodi precedentemente descritti per il caso dei circuiti senza memoria, sono applicabili in questo caso, con le stesse ipotesi, compresi i teoremi di Thevenin e di Norton, la cui formulazione, infatti, non fa alcun riferimento alle caratteristiche di memoria del circuito, ma portano a scrivere un sistema di equazioni integro-differenziali. In particolare, per quanto riguarda l'analisi di Tableau, le equazioni costituite dalle LKC e LKT rimangono un sistema di equazioni algebriche lineari che viene però chiuso dalle equazioni costitutive dei componenti in cui compaiono i termini integro-differenziali.